

# گسیل لیزری در شیشه سرامیک‌های فسفاتی آلاتیده به $Nd^{3+}$

وحید امیرزاده فتوت<sup>\*</sup>، یوسف هاتفی

دانشکده و پژوهشکده علوم پایه، دانشگاه جامع امام حسین (ع)

**چکیده:** نمونه‌های شیشه سرامیکی فسفاتی شفاف آلاتیده به یون  $Nd^{3+}$  ساخته شد. ویژگی‌های فازی و ساختار پودری نمونه‌ها به کمک پراش پرتو ایکس مورد بررسی قرار گرفت و اندازه نانوبولورها با بکارگیری معادله شرحدود ۴۵ نانومتر برآورد شد همچنین طیف‌های برانگیختگی و گسیل نمونه بررسی شد. در نهایت از نمونه شیشه سرامیکی فسفاتی آلاتیده به نئودیمیوم ساخته شده در داخل، تحت دمش لامپ درخش، گسیل لیزری حاصل شد.

**کلمات کلیدی:** شیشه فسفاتی-شیشه سرامیک، نانوبولور، گسیل لیزری.



دکتر وحید امیرزاده فتوت،

\* نویسنده اول مقاله، دانشگاه

جامع امام حسین (ع)

## ۱- مقدمه

شیشه سرامیک‌های حاوی یون‌های خاکی کمیاب به دلیل پتانسیل کاربردی بالا در وسایل اپتیکی مانند قطعات تبدیل فرکانس و مواد فعال لیزر حالت جامد، بیشتر مورد توجه قرار گرفته‌اند [۱]. از میان ماتریس‌های مختلف شیشه، شیشه‌های فسفاتی دارای چندین مزیت مانند ضریب هدایت گرمایی بالا، دمای ذوب و نرم شدگی پایین و گذار فرابینش بالا در مقایسه با شیشه‌های اکسیدی معمولی می‌باشند [۲]. یون‌های نئودیمیوم به دلیل امکان کاربرد آن‌ها به عنوان مرکز فعال در وسیله‌های لیزری، تقویت کننده‌های اپتیکی و تبدیل فرکانس فرابینش و مرئی، بیشتر مورد مطالعه قرار گرفته‌اند [۳]. شیشه-سرامیک‌های شفاف کلروفسفاتی آلاتیده به یون‌های  $Nd^{3+}$  حاوی نانوبولور هالیدی به روش ذوب، با موفقیت تهیه شد. نمونه‌های شیشه سرامیکی با بازپخت شیشه‌های اولیه در دمای  $590^{\circ}C$  به مدت ۲ ساعت تهیه شد. بررسی بلوری شدن نمونه‌ها با استفاده از آزمایش پراش اشعه X، (XRD)، تشکیل نانو بلورهای  $Ca(ClO_4)_2$  را نشان می‌دهد. میانگین اندازه نانوبولورهای تشکیل شده با استفاده از رابطه شرحدود ۴۵ نانومتر به دست آمد. توصیف طیفی با استفاده از طیف‌های جذبی، برانگیختگی و گسیلی مورد مطالعه قرار گرفت. تغییرات در طیف‌های جذبی و گسیلی شیشه سرامیک‌ها در مقایسه با شیشه‌های اولیه به ایجاد محیط جدید در اطراف یون‌های فعال که در نمونه شیشه وجود ندارد، مربوط می‌شود. همچنین طیف‌های جذبی و گسیلی بررسی شده به دام افتادگی تعداد قابل توجهی از یون‌های  $Nd^{3+}$  را در نانو بلورها بیان می‌کند. نانو بلورهای قرار گرفته در ماتریس شیشه، یک محیط با انرژی فونونی پایین برای یون‌های  $Nd^{3+}$  ایجاد می‌کند و در نتیجه شدت گذارهای غیر تشعشعی کاهش می‌یابند [۴-۵]. مطالعات طیفی صورت گرفته بر روی نمونه‌های آلاتیده شده به یون‌های  $Nd^{3+}$  نشان می‌دهد که شیشه سرامیک‌ها سیستم‌هایی با پتانسیل کاربردی به عنوان مواد لیزری با گسیل در طول موج ۱.۰۶ میکرومتر هستند.

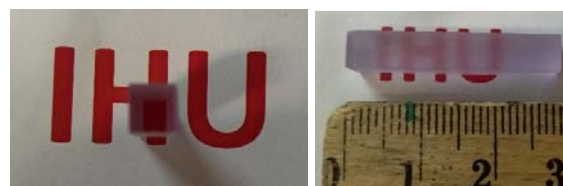
## ۲- بخش تجربی، نتایج و تحلیل

**الف- ساخت:** ترکیب فسفوکلرایدی با درصدهای مولی زیر:

$P_2O_5$ ,  $CaCl_2$ ,  $NaCl$ ,  $xNd_2O_3$

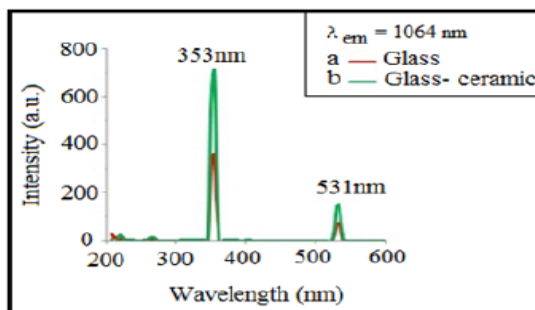
and  $x = 0.5, 1, 1.5, 2$

برای ساخت نمونه‌های با درصدهای مختلف آلایش بکار گرفته شد. در ساخت این نمونه‌ها به میزان ۵۰ گرم از این ترکیب توزین و مخلوطی همگن تهیه شد. پس از حرارت دهی اولیه، بوته حاوی نمونه به کوره‌ای که در دمای  $1100^{\circ}\text{C}$  قرار داشت منتقل شد و در این دما به مدت ۲ ساعت تحت عملیات حرارت دهی قرار گرفت. شکل ۱ یکی از نمونه‌های شیشه سرامیک شفاف ساخته شده به شکل میله‌ای به طول ۲۹ میلی‌متر و مقطع ۵ میلی‌متر مربع و با ۱ درصد آلائیده به نئودمیوم را نشان می‌دهد.

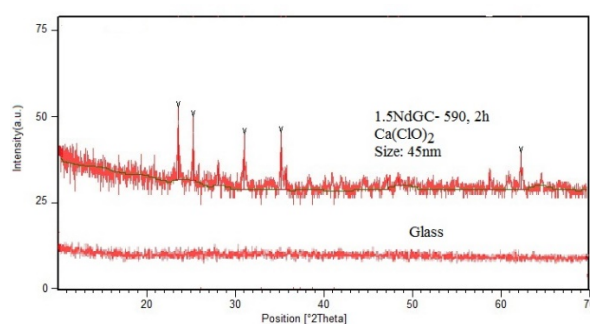


شکل ۱- نمونه شیشه سرامیک شفاف

الگوی پراش XRD نمونه شیشه‌ای و شیشه-سرامیکی مطابق با شکل ۲ بدست آمد. اندازه این نانوبلورها با بکارگیری معادله شر حدود ۴۵ نانومتر برآورد شد. طیف‌های برانگیختگی که در طول موج ۱۰۶۴ نانومتر دیده بانی شده است مطابق شکل ۳ می‌باشد.

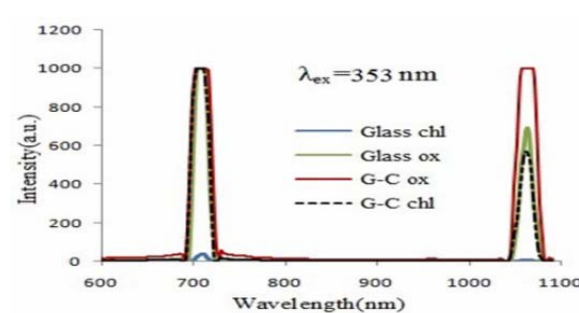
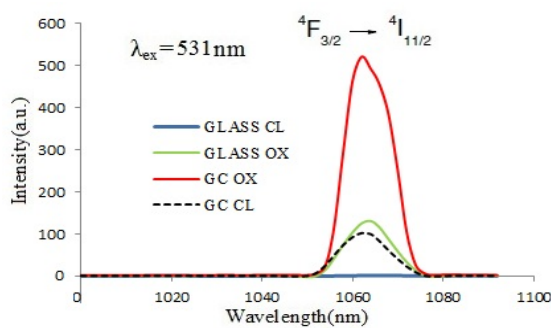


شکل ۳- طیف‌های برانگیختگی نمونه (a) شیشه‌ای و (b) شیشه سرامیکی



شکل ۲- الگوهای پراش XRD نمونه شیشه‌ای (پایین) و نمونه شیشه-سرامیکی (بالا).

طیف‌های گسیلی نمونه‌های شیشه و شیشه سرامیکی کلرایدی و اکسیدی مطابق با شکل ۴ بدست آمد. نمونه شیشه-سرامیکی اکسیدی شدیدترین گسیل را نشان می‌دهد. شکل ۵ نتایج تحریک نمونه‌ها در طول موج ۵۳۱ nm را نشان می‌دهد، همانطور که مشاهده می‌کنید نمونه شیشه-سرامیکی اکسیدی شدیدترین گسیل را نشان می‌دهد.



شکل ۴- طیف‌های گسیلی کلرایدی و اکسیدی با تحریک در طول شکل ۵- طیف‌های گسیلی کلرایدی و اکسیدی با تحریک در طول موج ۳۵۳ نانومتر برای نمونه‌های شیشه‌ای و شیشه سرامیکی

### ب- اخذ گسیل لیزری از نمونه شیشه سرامیک:

با دمشن نوری به کمک ۲ تا لامپ درخش روسی مدل ۷/۸۰A در یک آرایش نوری جفت شدگی نزدیک مطابق با چیدمان لیزری شکل ۶ تحت دمشن قرار گرفت.



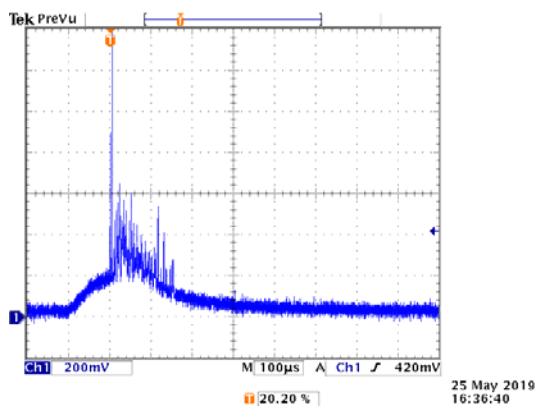
شکل ۶- چیدمان لیزری

تجهیزات لیزری شامل:

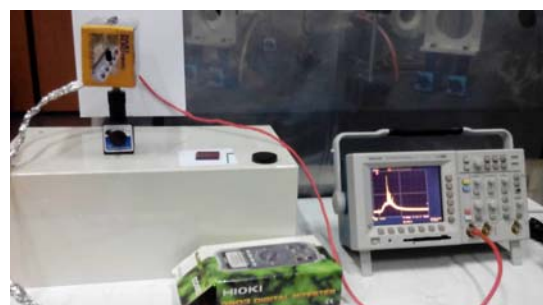
اینه مقعر عقب با شعاع ۳ متری و با ۹۸٪ بازتاب در طول موج ۱۰۶۴ nm - آینه مقعر جلو با شعاع ۳ متری و با ۹۸٪ بازتاب در طول موج ۱۰۶۴ nm - تریگر-دو تا خازن ۱۰۰ میکروفارادی روسی- منبع تغذیه با ولتاژ تا ۱۵۰۰ ولت- دو تا فلاش لامپ روسی- دوربین مرئی کننده IR- حسگر سیلیکون پین دایود و اسیلوسکوپ- کالری متر

شرح آزمایش:

نمونه در وسط دو لامپ توسط زرورق آلومینیومی که دو طرف آن آینه‌های مقعر با شعاع ۳ متری و بازتاب ۹۸٪ در طول موج ۱۰۶۴ nm قرار گرفت، طول کواک ۳۵ سانتیمتر بوده که نمونه در وسط آن قرار گرفت، با منبع تغذیه از ۹۰۰ تا ۱۲۵۰ ولت به دو سر لامپ، ولتاژ اعمال شده که معادل ۱۵۰ ژول بوده است. همچنین برای همراستا کردن از لیزر هلیوم نئون استفاده شد. پس از اینکه ولتاژ منبع تغذیه به ۹۰۰ ولت رسید با سوچیج کردن تریگر، نمونه توسط ۲ تا لامپ درخش دمشن شده و با زدن ۱ پالس، در فاصله ۴ متری توسط حسگر سیلیکون پین دایود و اسیلوسکوپ، لیز به صورت میخه‌های لیزری مشاهده شد و با افزایش ولتاژ تا ۱۵۰۰ ولت، شدت و مقدار انرژی افزایش یافت. (شکل ۷)



ب



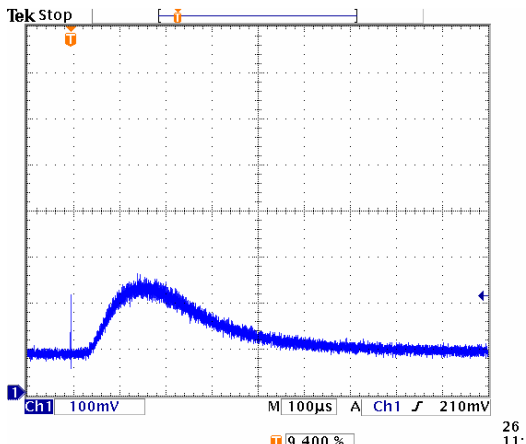
الف

شکل ۷- الف) حسگر پین دایود و اسیلوسکوپ، ب) میخه‌های لیزری مشاهده شده با اسیلوسکوپ

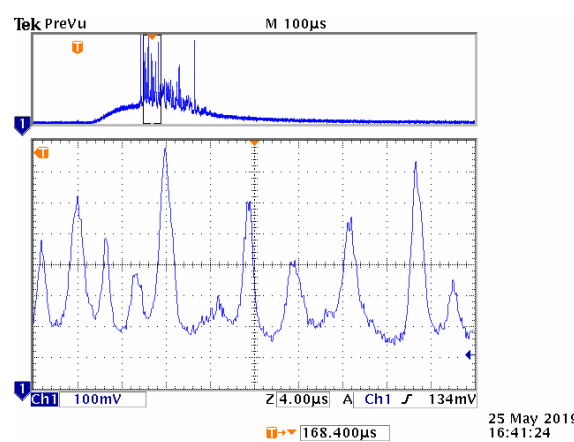
پس از باز کردن قسمتی از میخه‌های لیزری، چندین پهنهای پالس زمانی لیزری کمتر از ۳ میکروثانیه دیده شد. (شکل ۸)

جهت اطمینان از گسیل لیزری، پس از مسدود کردن آینه عقب، فقط پهنهای پالس لامپ دیده شد. (شکل ۹)

همچنین نور لیزر IR توسط دوربین مرئی کننده در فاصله ۴ متری با قطر پرتو ۳ سانتیمتری مشاهده شد و نیز توسط کالری متر، انرژی لیزر در مرتبه ۷۱۲ میکروژول بدست آمد.



شکل ۹- پهنهای پالس‌های زمانی لامپ پس از مسدود کردن آینه عقب



شکل ۸- پهنهای پالس‌های زمانی لیزری کمتر از ۳ میکروثانیه

### ۳- نتیجه‌گیری

- شیشه سرامیک فسفاتی شفاف آلائیده به  $\text{Nd}^{3+}$  ساخته شد.
- اندازه نانوبلورها در حدود ۴۵ نانومتر بدست آمد.
- طیف‌های گسیلی نمونه‌های شیشه و شیشه سرامیکی مورد بررسی قرار گرفت.
- پهنهای پالس زمانی لیزری کمتر از ۳ میکروثانیه بدست آمد.
- نور لیزر IR توسط دوربین مرئی کننده در فاصله ۴ متری با قطر پرتو ۳ سانتیمتر مشاهده شد.
- توسط کالری متر، انرژی لیزر در طول موج ۱۰۶۴ نانومتر در مرتبه ۷۱۲ میکروژول بدست آمد.

### سپاسگزاری

از جناب آقای دکتر فرهبد و آقای ترکاشوند از سازمان انرژی اتمی برای گرفتن گسیل لیزری از نمونه‌های ساخته شده تقدیر و تشکر می‌کنیم.

### مراجع

- [1] P.A. Tick, N.F. Borrelli, L.M. Reaney, "The relationship between structure and transparency in glass-ceramic materials", *Opt. Mater.*, 15 (2000) 81.
- [2] G .N. Hemantha Kumar, J .L. Rao, K .Ravindra Prasad, Y. C. Ratnakaram, "Fluorescence and Judd-Ofelt analysis of  $\text{Nd}^{3+}$  doped  $\text{P}_2\text{O}_5\text{-Na}_2\text{O}\text{-K}_2\text{O}$  glass", *J. Alloys Compounds*, 480 (2009) 208.
- [3] M. Abril, J. Mendez-Ramos, I.R. Martin, U.R. Rodriguez-Mendoza, "Optical properties of  $\text{Nd}^{3+}$  ions in oxyfluoride glasses and glass ceramics comparing different preparation methods", *J. Appl. Phys.* 95 (2004) 5271.
- [4] Y. Hatefi, N. Shahtahmasebi, A. Moghimi, E. Attaran, "Frequency-conversion properties of  $\text{Eu}^{3+}$  doped chlorophosphate glass ceramics containing  $\text{CaCl}_2$  nanocrystals", *Journal of Luminescence* 131 (2011) 114.
- [5] Y. Hatefi, N. Shahtahmasebi, A. Moghimi, E. Attaran, "Ultraviolet to visible frequency-conversion properties of rare earths doped glass ceramics", *J. Rare Earths* 29 (2011) 484.